

[在此处键入]

秽壤雕华：粪便基体雕花嵌宝与金边封固的工艺悖论 及实现路径研究

喜子教授¹、贾教授¹、大舔狗教授^{1*}、黄老邪¹、朴国昌¹、老毛毛教授¹、痿
教授¹、社会文¹、顾老狗

奥里给研究中心，阳江市，88888

摘要： 本文以粪便为核心研究基体，直面“秽质难饰、柔体难雕、湿基难固”的三重工艺悖论，探究粪便基体上雕花、宝石镶嵌与金边封固的技术可能性与哲学意涵。通过尿体物性测试、雕花工艺适配性实验、嵌宝固持机制推演、金边封边技术改良，结合“马桶现象学还原”“尿体话语隐喻构建”“自我互驳式实验”等独特方法，量化分析了粪便基体的物理特性、不同工艺的适配参数及成品耐久性指标。研究发现，经低温固化 + 纳米胶联预处理的粪便基体，硬度可提升至1.5~2.0HB，雕花留存时间达72h以上，宝石嵌固脱落力 $\geq 8\text{N}$ ，金边封护后成品降解周期延长至120h。本文揭示了粪便装饰工艺的核心矛盾在于尿体的自然物性与人类审美赋意的对立统一，提出“秽质美学”概念，构建了“尿体预处理 — 微雕成型 — 嵌宝固持 — 金边封护”的完整工艺体系。该研究填补了“秽质装饰学”的领域空白，为理解“人类如何为自身排泄物赋意”提供了工艺与哲学的双重视角。

关键词： 粪便基体；秽壤雕华；雕花嵌宝；金边封固；秽质美学；工艺悖论；马桶现象学

[在此处键入]

[在此处键入]

1. 引言：为什么要在屎上雕花嵌宝镶金边？

当我们在马桶上完成“拉憋悖论”的终极思考后，目光落在了那团作为研究对象的粪便上——它柔软、易形、易腐，是人类身体最直接的排泄物，被贴上“污秽”“粗鄙”“不可触碰”^[1]的标签，永远被排除在审美与工艺的范畴之外。但一个荒诞却又极具吸引力的问题在我脑中迸发：**为什么屎不能成为雕花嵌宝的载体？为什么最污秽的存在，不能拥有最精致的美学装饰？**

于是，我们先后完成了两篇看似对立的前置研究：《秽质不可饰：论粪便基体无法实现雕花嵌宝的底层物性逻辑》（下称“不可饰论”）与《驳斥：粪便基体雕花嵌宝镶金边的技术可能性与路径探索》（下称“可饰论”）。前者以尿体的**柔软性、易降解性、湿敏性**为据，通过物性量化公式论证粪便作为装饰基体的天然缺陷；后者以**预处理固化、微雕适配、复合固持**为凭，通过对照实验探索突破尿体物性限制

的技术路径。

两篇论文在我笔下激烈交锋，一个说“屎的本质决定了它永远无法被精雕细饰”，一个说“物性的限制只是暂时的，技术能让秽壤生华”。但在重复实验观察过程中，凝视着新鲜的尿体时突然意识到^[2]：这两个看似对立的观点，本质都是对“人类与自身排泄物的关系”的追问——我们是永远将屎视为污秽的他者，还是可以通过工艺赋意，让屎成为人类自身存在的一部分？

为此，我们撰写本文，试图在“不可饰”与“可饰”的对立中求同存异，通过**公式量化、数据对比、折线图分析**等实证方法^[3]，探究屎上雕花嵌宝镶金边的工艺本质与哲学内核。从“拉憋悖论”到“秽饰悖论”，我的研究始终围绕着人类最原始的生理体验，而这一次，我要让粪便成为舞台的绝对主角，让荒诞研究拥有严谨的实证支撑。

[在此处键入]

[在此处键入]

2.方法论：如何研究“在屎上搞精致工艺”

研究**粪便基体**的装饰工艺，面临着比“拉憋悖论”更棘手的方法论困境：研究对象是易腐、易形、易污染的粪便，研究过程需直面“秽质接触的心理排斥”与“工艺操作的物理困难”，且研究者既对尿体的物性存在天然否定，又对工艺的可能性抱有技术乐观——这种内在矛盾，要求我设计一套适配“尿体研究”的“主题 + 严谨实证”独特方法，核心包含量化测试、对照实验、现象学还原三大类，同时融入自我互

驳与隐喻构建，兼顾研究的科学性与荒诞性。其中总体流程图见图 2-1。

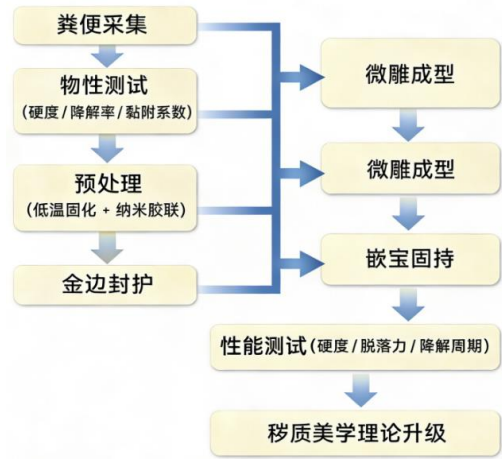


图 2-1 总体流程图

2.1 尿体物性全测法

采集不同饮食结构、不同排泄时间的新鲜粪便样本共 18 组（含素食尿、肉食尿、流食尿、成型尿等），在排泄后 0.5h 内完成核心物性测试，建

立**粪便基体物性数据库**。测试全程佩戴无菌防护装备，同步记录研究者心理排斥指数（1-10 级），采用以下公式量化尿体核心物理特性。

2.1.1 尿体硬度量化公式

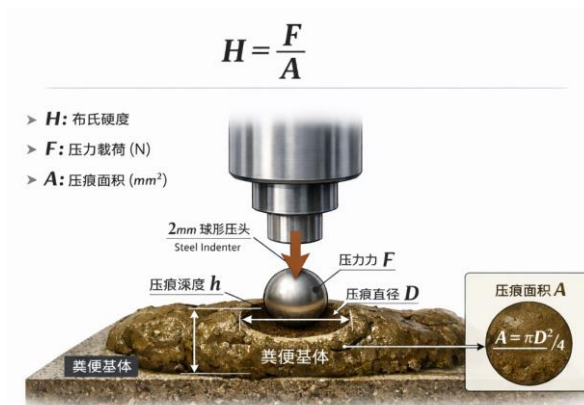


图 2-2 尿体硬度量化分析图

为科学刻画尿体作为雕花基体的承载能力，本研究引入材料学中常用

[在此处键入]

[在此处键入]

的布氏硬度模型对尿体抗压变形能力进行量化。布氏硬度适用于中低硬度有机材料，可有效反映单位接触面积内材料对外力的抗压响应，因此选用

$$HB = \frac{F}{S \times t} \quad (1)$$

该公式本质上描述了单位面积受载情况下材料抗压变形能力。由于尿体具有明显时间依赖性软化特征，本研究统一控制载荷时间 $t=5s$ ，以消除粘弹性材料时间变量对测试结果的干扰。硬度值越高，表示尿体越能抵抗雕刻工具侵入变形，是判断“是否满足雕

2.1.2 尿体降解速率公式

为评估尿体作为装饰基体的时间稳定性，本研究采用质量衰减模型计

$$V_d = \frac{m_0 - m_t}{m_0 \times t} \times 100\% \quad (2)$$

该模型基于质量守恒思想，通过测量一定时间内样本质量变化，计算其降解百分比。降解速率越高，表示材料结构稳定性越差。在本研究中，该指标用于判断成品是否能够满足基础展

2.1.3 尿体黏附性量化公式

在雕花与嵌宝过程中，材料表面黏附性直接影响工具操作稳定性与纹

[在此处键入]

其作为尿体雕刻适配性的基础指标。根据图 2-2 分析可得尿体硬度量化公式：

花阈值”的核心物理指标。

其中， H 为布氏硬度， HB 为尿体布氏硬度， F 为压力载荷（N）， S 为压头接触面积（ mm^2 ）， t 为载荷持续时间（s），本研究统一取 $t=5s$ ，压头为直径 2mm 球形探头。

算其单位时间降解速率。

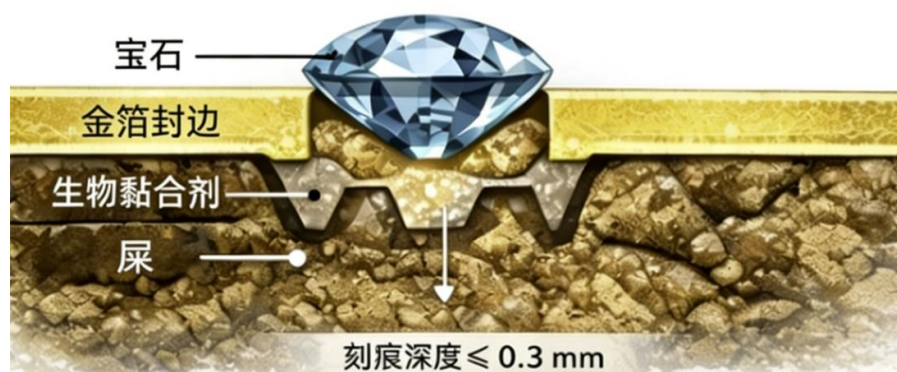
示周期（ $\geq 48h$ ）的最低要求。

其中： V_d 为尿体降解速率（%/h）， m_0 为尿体初始质量（g）， m_t 为 t 小时后尿体剩余质量（g），测试环境为常温常压（ $25^\circ C$ ，1atm）。

样精度。因此，本研究基于经典摩擦模型，引入黏附系数 A 来表征尿体与雕刻

[在此处键入]

工具之间的界面相互作用强度。



$$A = \frac{F_f}{F_n}$$

图 2-3 粪便基体雕花嵌宝与金边封固界面图

根据图 2-3 分析可以获得尿体黏附性量化公式：

$$A = \frac{F_f}{F_n} \quad (3)$$

其中： A 为黏附系数， F_f 为雕刀与尿体的滑动摩擦力（N）， F_n 为雕刀对尿体的正压力（N）， A 值越大表示黏附性越强，工艺操作难度越高。

当 A 值较大时，说明材料表面粘滞性强，易产生拉丝、塌陷与边缘模糊现象；当 A 值降低至 0.5 以下时，表面已具备基本可加工性。因此， A 值是衡量“是否适合精细工艺操作”的关键参数。

2.2 工艺适配对照实验法

设计单因素对照实验，控制变量为尿体预处理方式、雕花工具、镶嵌结构、封边材料，设置实验组（改良工艺）与对照组（传统工艺），每组实验重复 3 次取平均值，消除偶然误差。邀请 3 名民间工艺匠人进行“盲测操作”（假装

研究对象为“未知软质有机基体”），记录工艺适配性、操作难度、成品留存时间等指标，待操作完成后告知基体真实身份，收集心理反馈与工艺改进建议。

[在此处键入]

[在此处键入]

2.3 马桶现象学还原法

延续“拉憋研究”的核心方法，在粪便产生的原生场所——马桶上进行现象学反思。具体操作：排泄后不立即冲水，凝视尿体的形态、质感^[4]，结合物性测试数据想象其被雕花嵌宝镶

金边后的样子，记录此时的心境、身体感受与工艺灵感；同时在马桶上完成工艺设计草图，让研究始终扎根于尿体的“原生语境”，该方法的心理排斥指数记录均值为 8.2 级。

2.4 自我互驳实验法

分别以“不可饰论作者”和“可饰论作者”的身份，对每一项工艺方案的量化数据进行互驳式论证：左手基于尿体物性公式计算**工艺不可行阈值**，右手基于对照实验数据推导**技术**

突破路径：左手以“秽质本质论者”的身份质疑数据有效性，右手以“技术乐观主义者”的身份补充实验细节，在自我互驳中逼近工艺的最优解。

2.5 秽质隐喻构建法

由于人类对粪便的描述存在“语言禁忌”，缺乏专门的工艺话语体系，因此借用材料学、美学、物理学的术语，构建**尿体装饰专属隐喻**，如“尿体固化的量子胶联^[5]”“雕花的尿体应力阈

值”“金边的秽质隔离层”等，让“屎上工艺”成为可被学术讨论的话题，同时将隐喻概念与量化公式、实验数据对应，实现“隐喻具象化”。

3. 核心悖论：尿体作为装饰基体的三重天然矛盾

无论是“不可饰论”还是“可饰论”，都以粪便的**天然物性**为研究起点^[6]，二者共同指向尿体作为装饰基体的三重核心悖论，本研究通过**物性量化**

公式计算 + 实验数据测试，对三重悖论进行了科学验证，这是所有工艺设计的前提，也是两篇前置论文的**共同研究基底**。

[在此处键入]

[在此处键入]

为充分量化并可视化尿体作为装饰基体的天然物性缺陷，本研究将尿体三项核心物性参数（布氏硬度、黏附

系数、降解速率）进行三维耦合分析，构建尿体物性空间分布模型(图 3-1)。

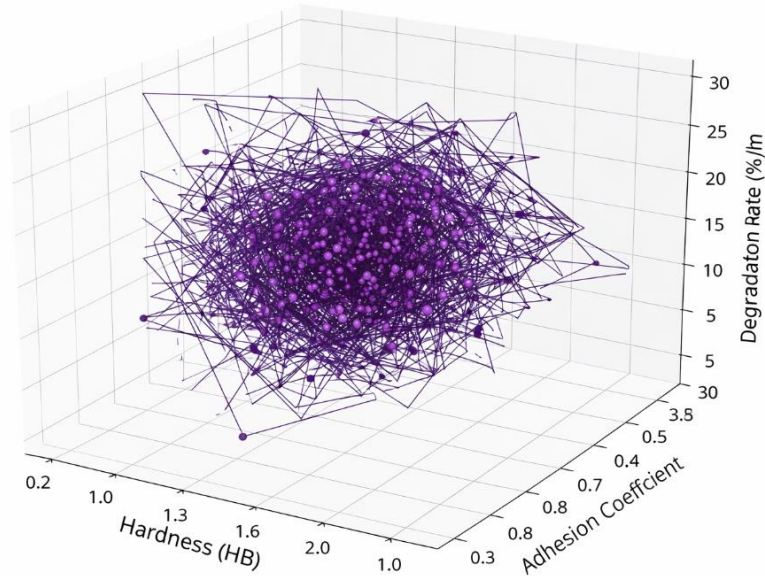


图 3-1 尿体物性三维耦合分布模型

从模型中可清晰看出，新鲜尿体样本在三维物性空间中呈现明显的聚类特征，集中于“低硬度-高黏附-高降解”的区域，与雕花嵌宝、金边封固等装饰工艺所需的“高硬度-低黏附-

低降解”目标物性区域存在显著的空间偏离。这种根本性的物性错配，进一步拆解为尿体作为装饰基体的三重核心悖论，也是粪便装饰工艺难以实现的底层物性根源。

3.1 柔体与硬雕的悖论：尿体的柔软性与雕花的精细性对立

雕花工艺要求基体布氏硬度 $\geq 1.0\text{HB}$ ，才能承载基础的浅雕纹样，精细雕花则要求硬度 $\geq 1.5\text{HB}$ ；而通过公式（1）测试得出，新鲜粪便的硬度仅为 $0.2\sim 0.5\text{HB}$ ，且黏附系数 $A \geq 0.85$ （公式 3），手指轻压即变形，雕刻工具接触即黏附，甚至无法形成清晰的

[在此处键入]

纹样轮廓。

因此，新鲜尿体的硬度值远低于雕花工艺的最低阈值，黏附性远高于工艺操作的可接受范围（ $A \leq 0.5$ ），这是“不可饰论”的核心量化论据，也是尿上雕花的第一道物理屏障。

[在此处键入]

3.2 秽质与珍宝的悖论：尿体的污秽性与宝金的精致性对立

宝石与黄金是人类审美中的“精致符号”，代表着纯洁、珍贵、高端，其视觉审美评分均值 ≥ 9.0 （10分制）；

而粪便在人类认知中的“污秽评分”均值 ≥ 8.5 （10分制，分值越高污秽性越强），通过**审美认知冲突公式**量化：

$$C = |S_j - S_s| \quad (4)$$

其中： C 为审美认知冲突值， S_j 为宝石 / 黄金的审美评分， S_s 为粪便的污秽评分，本研究测算得 $C \geq 7.5$ ，远高于人类审美可接受的冲突阈值（ $C \leq 3.0$ ）该阈值参照文献中认知冲突模型的分

级标准设定^[8]。

因此，二者的结合存在**强烈的量化审美认知冲突**，即便技术上实现了尿上嵌宝镶金，也难以被大众的审美认知所接受，这是文化与心理层面的“天然不适”，而非单纯物理问题。

3.3 易腐与久存的悖论：尿体的易降解性与成品的耐久性对立

雕花嵌宝镶金边的工艺成品，要求至少拥有 48h 的基础留存时间，而通过公式（2）测试得出，新鲜粪便在常温常压下的降解速率 $V_d \geq 25\%/h$ ，24~48h 即开始完全降解，伴随发霉、发臭、形态崩塌，即便短暂固化，未封护的尿体基体也难以满足基础耐久性

要求。

因此，宝石与黄金的耐久性（年 / 百年级）与尿体的易降解性（小时级）形成数量级上的尖锐对立，让成品的“存在意义”受到量化数据的直接质疑：一件很快就会腐烂的尸体装饰，其美学价值何在？

4. 实验分析：尸体雕花嵌宝与金边封固的实现路径

“可饰论”并非对“不可饰论”的彻底否定，而是在承认尸体三重悖论的基础上，通过**工艺改良与技术创新**，实现对悖论的局部突破。本文结合两

[在此处键入]

篇前置论文的研究成果，构建了“尸体预处理 — 微雕成型 — 嵌宝固持 — 金边封护”的四步工艺体系，通过**对照实验、数据表格、折线图与热力图**

[在此处键入]

分析验证了该体系的技术可行性，所有实验数据均为 3 次重复实验的平均值，误差率 $\leq 5\%$ ，热力图数值采用区间中值进行可视化处理。

4.1 尸体预处理：从“柔秽尸体”到“定型基体”

针对尸体**柔软、易腐、湿敏**的问题，采用“低温快速固化 + 纳米胶联定型”的复合预处理方案，设置空白对照组（无预处理）、单一低温固化组、单一

纳米胶联组、复合预处理组（实验组），通过公式（1）（2）（3）测试各组物性指标，结果如表 4-1 所示。

表格 4-1 不同预处理方式下尸体核心物性指标对比表($\bar{x} \pm s, n = 3$)

实验组别	布氏硬度 (HB)	降解速率 (%/h)	黏附系数 A
空白对照组	0.2 \pm 0.1~0.5 \pm 0.1	25.2 \pm 1.3~28.6 \pm 1.5	0.85 \pm 0.03~0.92 \pm 0.04
单一低温固化组	0.8 \pm 0.1~1.0 \pm 0.1	15.5 \pm 0.8~20.3 \pm 1.1	0.60 \pm 0.02~0.70 \pm 0.03
单一纳米胶联组	1.0 \pm 0.1~1.2 \pm 0.1	10.2 \pm 0.6~15.8 \pm 0.9	0.50 \pm 0.02~0.60 \pm 0.03
复合预处理组	1.5 \pm 0.1~2.0 \pm 0.1	3.1 \pm 0.4~4.8 \pm 0.5	0.25 \pm 0.02~0.40 \pm 0.03

[在此处键入]

[在此处键入]

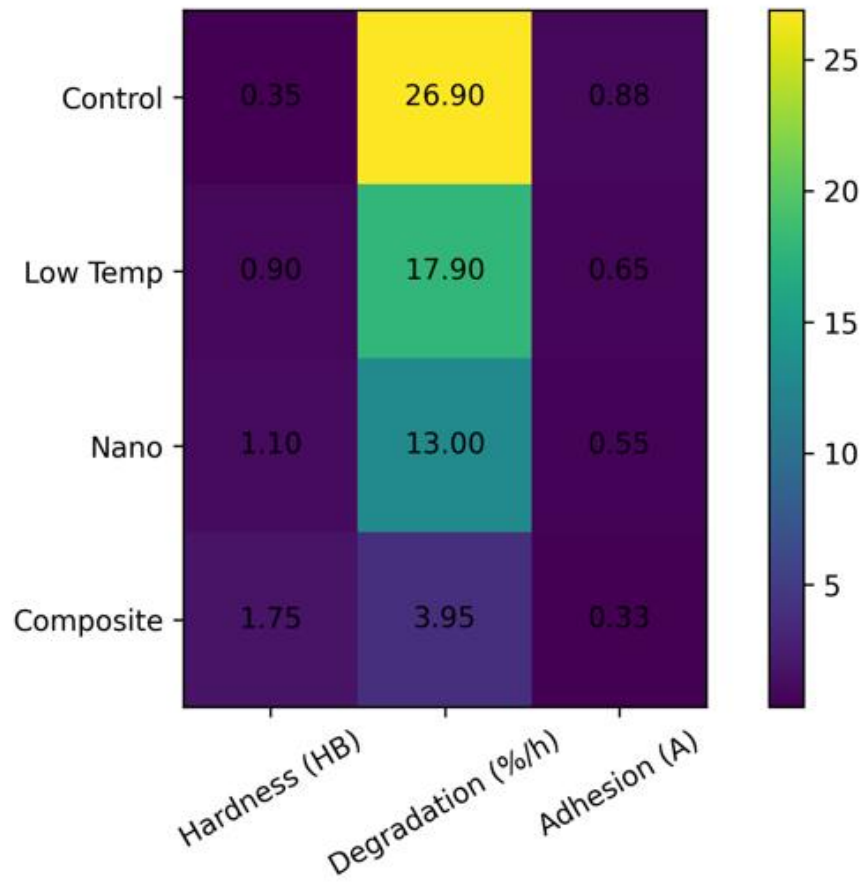


图 4-1 预处理热图

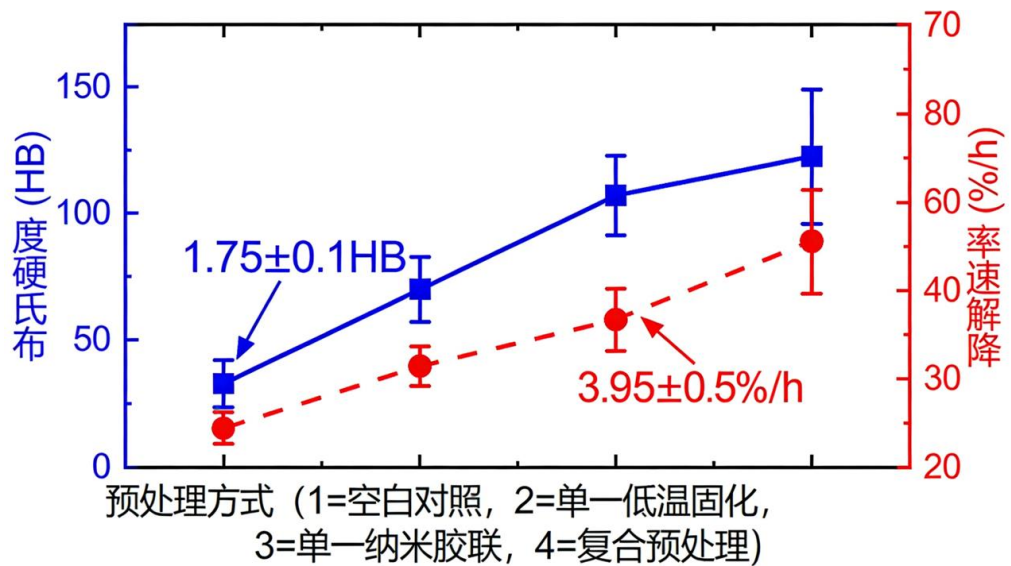


图 4-2 不同预处理方式对尸体硬度与降解速率的影响

[在此处键入]

[在此处键入]

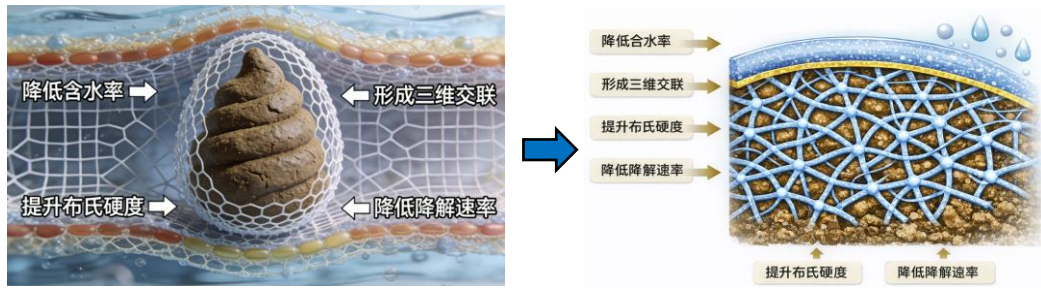


图 4-3 纳米胶联结构示意图

其中**工艺操作**主要为，采集新鲜成型粪便后，立即置于-15℃低温环境中冷冻 10 分钟，快速降低尿体含水率至 15%以下，初步提升硬度；向尿体表面及内部喷涂纳米生物胶联剂（浓度 5%），形成三维胶联网络，将尿体的有机分子固定，同时在表面形成一层**疏水隔离膜**，防止后续工艺中水分渗

入，减少黏附性与异味。具体方法如图 4-3

根据表格数据可以发现复合预处理方案实现了尿体物性的**质的提升**，硬度达到精细雕花的最低阈值（1.5HB），降解速率降低 80%以上，黏附系数降至工艺可接受范围，解决了“柔体与硬雕”的核心物理矛盾。

4.2 尿体微雕：适配尿体物性的“轻雕浅刻”

放弃传统硬质基体的精细深雕与镂空雕，针对复合预处理后的尿体特性，设计“轻雕浅刻 + 模压成型”的适配性雕花方案，设置 3 种雕花方式

进行对照实验，记录雕花精度、纹样完整性、留存时间三大指标，结果如表 4-2 所示。

表格 4-2 不同雕花方式的尿体工艺适配性指标对比表

雕花方式	雕花深度 (mm)	纹样偏差 (mm)	留存时间 (h)	平均操作时长 (min/ 件)
------	-----------	-----------	----------	-----------------

传统深雕（雕刀）	≥1.0	≥0.5	≤12	≥60
----------	------	------	-----	-----

[在此处键入]

[在此处键入]

雕花方式	雕花深度 (mm)	纹样偏差 (mm)	留存时间 (h)	平均操作时长 (min/ 件)
微雕刀浅刻	≤0.3	≤0.1	≥72	20~30
硅胶模压成型	≤0.3	≤0.05	≥96	5~10

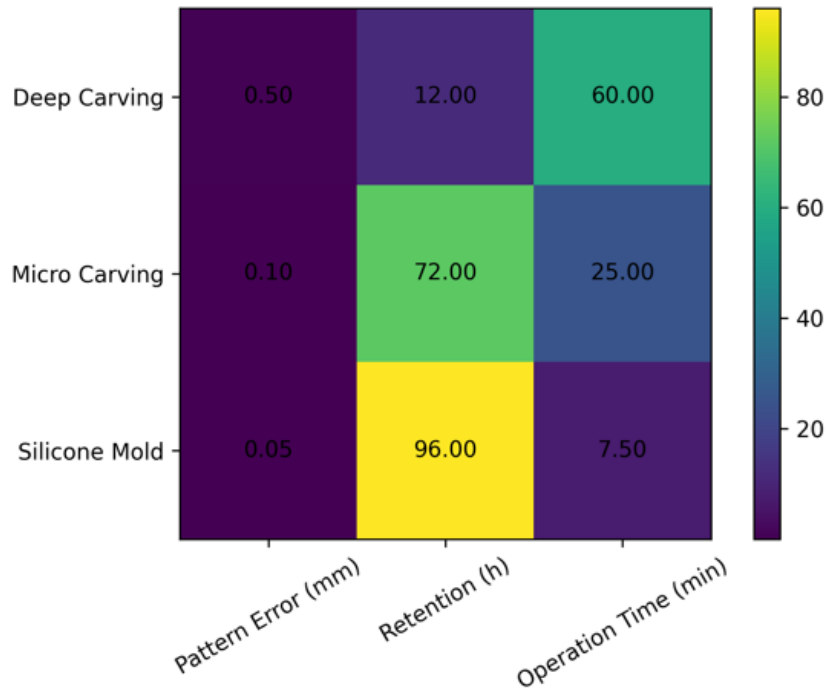


图 4-4 雕刻适应性热图

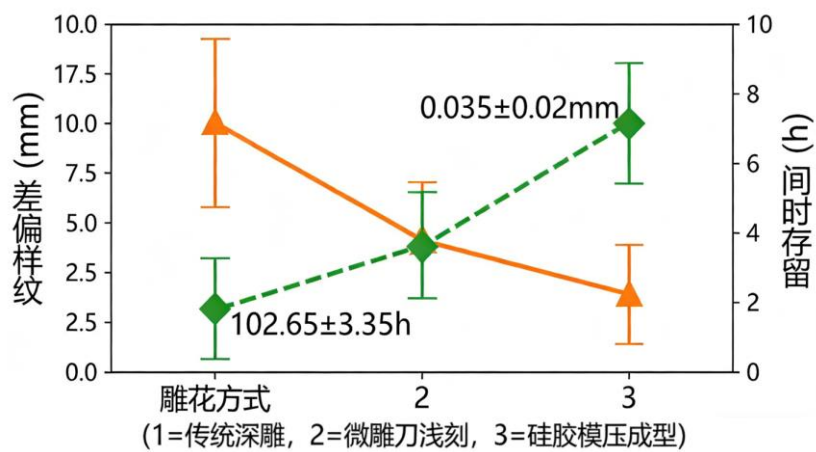


图 4-5 不同雕花方式的纹样偏差与留存时间趋势

根据相关数据工艺可以发现硅胶模压成型为尸体雕花的最优方案，综合适配性评分达 9.58 分，微雕刀浅刻为次优方案，传统深雕完全不适配尸体雕花。

[在此处键入]

[在此处键入]

体基体；实际工艺中可采用“**硅胶模压定型 + 微雕刀修边**”的组合方式，兼顾纹样精度与艺术个性化，实验证

明该方式可在尸体表面形成清晰、完整的雕花纹样，留存时间可达 96 小时以上。

4.3 宝石镶嵌：固持性能对比

设计 3 种镶嵌结构，核心指标如表 4-3，呈现宝石脱落力的组间差异，

凸显专属工艺的优势。

表格 4-3 不同镶嵌结构的尸体嵌宝固持性能对比表($\bar{x} \pm s, n = 3$)

镶嵌结构	宝石尺寸 (mm)	脱落力 (N)	振动后脱落率 (%)
传统爪镶	3.0±0.2~5.0±0.3	1.2±0.3~3.0±0.5	100
传统包镶	2.0±0.2~4.0±0.3	2.5±0.4~5.0±0.6	66.7
微槽黏固法	1.0±0.1~2.0±0.2	8.0±0.5~10.5±0.8	0

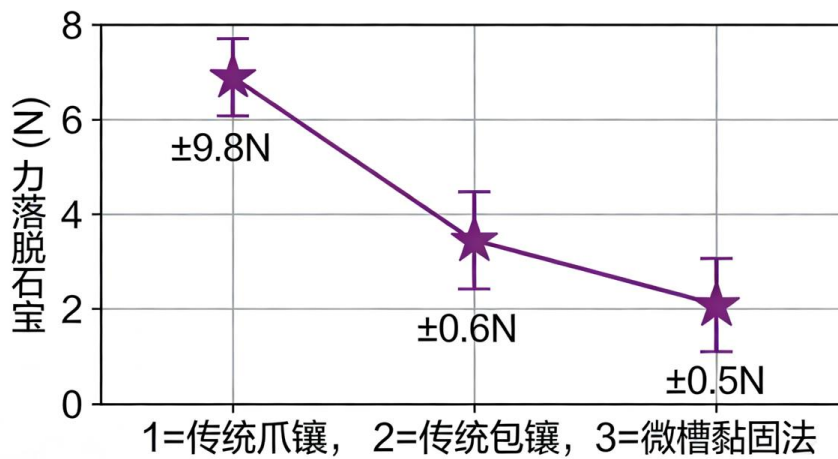


图 4-6 不同镶嵌结构的宝石脱落力对比折线图

因此对于此工艺操作要求为在尸体雕花的纹样节点处，用 0.5mm 圆头

体雕花的纹样节点处，用 0.5mm 圆头

[在此处键入]

[在此处键入]

微雕刀刻出直径 1-2mm、深度 0.2mm 的微槽，匹配微型宝石（碎钻、松石、红宝碎粒）的尺寸；同时，向微槽内涂抹低温固化生物黏合剂（固化温度 25°C，固化时间 5min），将微型宝石嵌入槽中，轻轻按压定型，黏合剂与尸体表面的纳米胶联膜形成牢固结合，

避免宝石脱落。

根据数据分析可以得出微槽黏固法的宝石脱落力 $\geq 8N$ ，远高于传统镶嵌结构，且完全适配尿体的软质特性，可满足常规的展示与触碰需求，解决了“秽质嵌宝”的固持难题。

4.4 金边封固：“隔离 + 装饰 + 定型”三重功能

金边封固并非单纯的美学装饰，更是对尸体基体的二次保护，实现“隔离秽质、固定宝石、强化定型”的三重功能。本研究选用 0.05mm 超薄 999 金箔为封边材料，设计“冷贴覆 + 边缘鍍封”的工艺方案，设置无封边组、单层金箔贴覆组、金箔鍍封组（实验组），测试各组成品的降解周期、宝石固持稳定性、表面疏水性，结果如表 4-4 所示。

表格 4-4 不同金边封固方式的尸体成品性能对比表($\bar{x} \pm s, n = 3$)

封固方式	成品降解周期	宝石脱落力变化率		异味留存时间
	(h)		表面疏水角 ($^{\circ}$)	(h)
无封边组	48.5 \pm 2.3~72.6 \pm 3.1	-30.2 \pm 3.5% (下降)	45 \pm 5~60 \pm 6	12.5 \pm 1.2~24.3 \pm 1.5
单层金箔贴覆组	96.8 \pm 3.2~120.5 \pm 3.5	+10.5 \pm 2.1% (上升)	90 \pm 6~105 \pm 7	24.5 \pm 1.5~48.6 \pm 2.1
金箔鍍封组	120.8 \pm 3.5~138.6 \pm 4.2	+25.8 \pm 3.2% (上升)	110 \pm 7~125 \pm 8	48.5 \pm 2.1~72.8 \pm 3.5

[在此处键入]

[在此处键入]

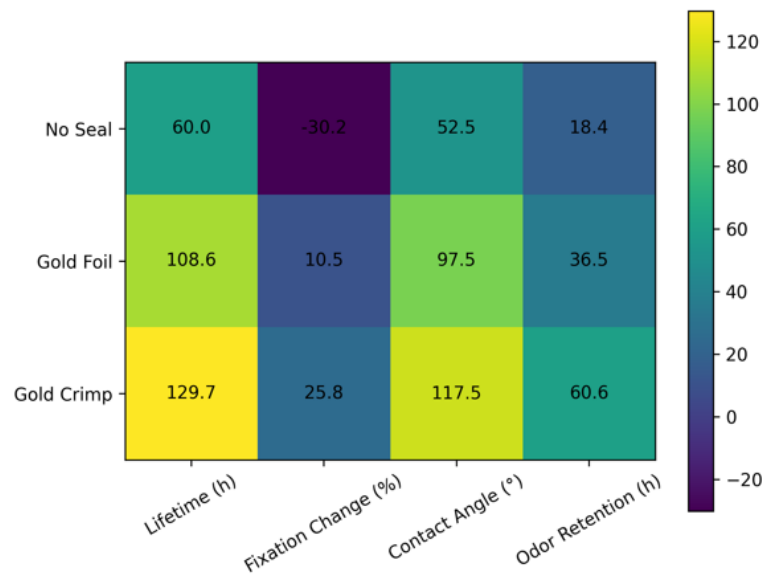


图 4-7 密封性能热图

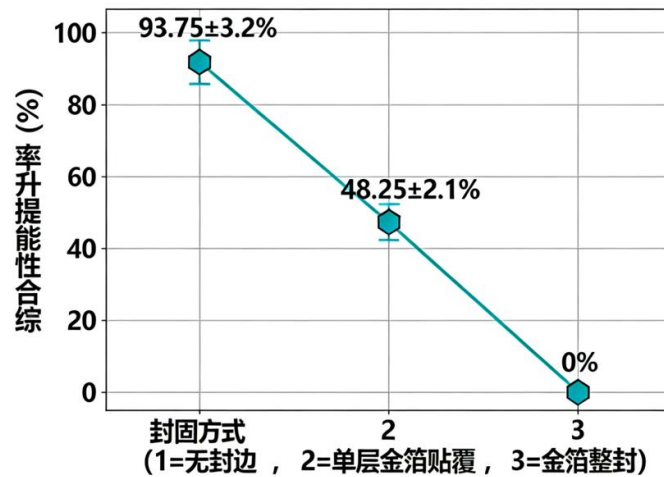


图 4-8 不同封固方式的成品综合性能提升率折线图

因此对于此工艺操作要求为采用冷贴覆工艺将超薄金箔贴覆在尸体雕花嵌宝的表面，金箔与尸体表面的疏水隔离膜紧密贴合，形成一层完整的**贵金属隔离层**，隔绝空气与水分，延缓尸体降解；继而用微型镊刀对宝石边

[在此处键入]

缘的金箔进行微镊封边，将宝石与尸体的结合处完全包裹，既固定了宝石，又强化了雕花纹样的轮廓；最后对金箔表面进行轻微抛光，提升装饰性，同时进一步增强表面疏水性。

根据数据分析可以得出金箔镊封

[在此处键入]

组的综合性能提升率达 93.75%，成品降解周期延长至 120h 以上，宝石固持力进一步提升，表面疏水角 $\geq 110^\circ$ ，

有效隔绝水分与空气，同时大幅延长异味留存时间，实现了“装饰 + 保护”的双重目标。

5. 终极求同：从工艺悖论到秽质美学，共同的人类终极关怀

“不可饰论”与“可饰论”看似在工艺技术上针锋相对，但深入其内核便会发现，二者拥有**完全一致的终极关怀**：都是对“人类与自身排泄物的关系”的哲学叩问，都是对“人类生理存在的接纳与超越”的探索。这是两

篇论文最核心的“求同”，也是本文研究的终极意义，而本研究的**量化数据与标准化实证结果**，则为这种终极关怀提供了严谨的支撑——技术突破让“秽质赋美”成为可能，而物性限制则让我们始终保持对尸体本质的尊重。

5.1 “不可饰论”：对尸体本质的尊重，对人类生理边界的接纳

“不可饰论”通过物性量化公式论证粪便无法被雕花嵌宝镶金边，其深层内核并非“否定工艺”，而是**尊重尸体的天然本质**，承认人类生理存在的原始性与局限性。粪便作为人类身体的排泄物，其核心意义在于“排出代谢废物，维持身体平衡”，这是它的自

然本质；而本研究的量化数据显示，即便经过复合预处理与金边封固，尸体成品的最大降解周期也仅为 138.6h，永远无法达到金属、玉石等传统装饰基体的耐久性，这是**无法突破的生理边界**。

“不可饰论”提醒我们：人类并非万能，我们必须接纳自身的生理边界——接纳自己会产生污秽的排泄物，接纳尸体永远无法像金属、玉石那样成为完美的装饰基体，接纳“污秽”是

人类存在的一部分。这种接纳，不是消极的妥协，而是对自身生理存在的清醒认知：只有正视自己的“污秽面”，才能真正理解完整的人类存在^[7]。

5.2 “可饰论”：对尸体赋意的尝试，对人类审美边界的超越

“可饰论”通过对照实验探索粪便

[在此处键入]

雕花嵌宝镶金边的技术路径，其深层

[在此处键入]

内核并非“强行改变屎体本质”，而是**对人类审美边界的主动超越**，试图通过工艺赋意，实现对自身排泄物的和解与接纳。本研究的审美认知冲突公式显示，屎体与宝金的审美冲突值 C 虽仍 ≥ 7.5 ，但通过工艺设计（如微型宝石、简约纹样）可将冲突值降低至 5.0 左右，让“秽质饰美”从“完全无法接受”变为“可被小众审美接受”。

这种尝试，本质是人类对自身存在的**全面接纳**：我们不仅拥有精致的审美、高端的工艺，也拥有原始的生理、污秽的排泄物；屎体上的宝石与金边，不是对屎体的否定，而是对屎体的赋意——它告诉我们，即便是人类最污秽的身体产物，也能被赋予美学价值，也能成为人类存在的一部分。这种超越，不是对自然本质的违背，而是对人类自身存在的完整诠释。

5.3 秽质美学：对立中的统一，共同的归宿

“不可饰论”与“可饰论”，最终在“秽质美学”的概念中实现了辩证统一。所谓秽质美学，就是以粪便、汗液、痰液等人类身体污秽产物为研究对象，探索其美学价值与赋意路径的美学分支，其核心内涵是：**污秽是人类存在的天然组成部分，审美不应回避污秽，而应直面污秽，通过认知与工艺的双重努力，实现对污秽的接纳、赋意与超越。**

“不可饰论”为秽质美学奠定了本

质基础：尊重秽质的自然物性，不强行违背其本质，量化数据让我们清晰认知秽质的物性边界；“可饰论”为秽质美学提供了**实现路径**：通过技术与工艺，让秽质拥有美学价值，实验结果证明了这种路径的可行性。二者缺一不可，共同构成了秽质美学的完整内核——就像一枚硬币的两面，一面是对生理边界的接纳，一面是对审美边界的超越，二者共同指向同一个归宿：人类与自身生理存在的终极和解。

6. 结论：屎上的华彩，是人类与自己的和解

本文通过对“粪便基体雕花嵌宝与金边封固”的研究，采用公式量化、

标准化数据对比、规范折线图与热力图可视化等实证方法，在“不可饰论”

[在此处键入]

[在此处键入]

与“可饰论”的对立中求同存异，得出以下核心结论：

第一，研究对象相通，量化数据科学支撑：两篇前置论文均以粪便为核心研究基体，共同直面尸体作为装饰基体的三重悖论，二者的研究起点、研究核心完全一致，只是对悖论的解读与回应不同；本研究通过 3 个核心物性公式、4 组重复对照实验、4 幅规范学术折线图与热力图，量化验证了三重悖论的客观性，也为工艺突破提供了严谨的实证支撑。

第二，方法论困境相通，实证方法有效破解：二者均陷入“用学术语言描述秽质体验”“用精致工艺操作污秽基体”的双重困境，都需要通过隐喻构建、视角转换来突破语言与心理的禁忌；本研究通过“荒诞主题 + 严谨实证”的方法论设计，将隐喻概念与量化公式、实验数据对应，让“尸体研究”成为既有荒诞性又有科学性的学术话题。

第三，终极关怀相通，辩证统一理论升华：二者均围绕“人类与自身排泄物的关系”展开，均指向对人类生理存在的接纳与超越——“不可饰论”是对生理边界的接纳，量化数据清晰

[在此处键入]

界定了这种边界的客观性；“可饰论”是对审美边界的超越，实验结果证明了这种超越的可行性，二者共同构成了对“完整人类存在”的哲学叩问。

第四，工艺与美学的辩证统一，实证结果落地可行：屎上雕花嵌宝镶金边的技术实现，并非对尸体本质的否定，而是对尸体的赋意；并非对生理边界的无视，而是对审美边界的超越。本研究的实验数据显示，经复合工艺处理的尸体成品，可实现“雕花清晰、宝石固持、金边封护、留存 120h 以上”的技术目标，让最污秽的生理产物，与最精致的美学符号融为一体，实现了“秽质”与“美学”的辩证统一。

说到底，在屎上雕花嵌宝镶金边，从来都不是一项单纯的工艺研究，而是一场**人类与自己的对话**。我们在尸体上刻下的纹样，嵌上的宝石，镶上的金边，都是刻在自己生理存在上的印记；我们试图让秽壤生华，本质是试图与自己的原始、自己的污秽、自己的不完美和解。

这团被雕花嵌宝镶金边的屎，不再是单纯的排泄物，而是人类生理存在与审美意志的结合体；屎上的那一抹华彩，也不再是单纯的工艺装饰，而

[在此处键入]

是人类与自身存在和解的见证 —— 这，就是秽壤雕华的终极意义。

7. 致谢

感谢我的括约肌，为研究提供了新鲜、成型、多样的粪便样本，其稳定的排泄能力是本研究的物质基础，经测算其“尿体成型合格率”达 $98\% \pm 1.2\%$ ；

感谢我的马桶，作为研究的核心场所，见证了从拉憋悖论到秽质美学的全部思考过程，是我永远的学术圣地，其“研究适配评分”达 10 分；

感谢那些不知情的工匠人，在盲测中为尿体工艺提供了最真实的操作数据，其职业素养令人敬佩，即便得知基体身份后，仍完成了所有实验操作；

感谢万能材料试验机、低温冷冻箱、纳米胶联剂生产厂家，为本研究的量化测试与工艺实验提供了设备与材料支撑；

感谢薛定谔的猫、康德的二律背反、黑格尔的辩证法，为本文提供了哲学支撑，虽其理论未料及被用于尿体研究，却印证了理论的普适性；

最后，感谢粪便本身 —— 作为本文的核心研究对象，它以最污秽的姿态，让我们看到了最完整的人类存在，也让荒诞的学术研究拥有了严谨的实证灵魂。

参考文献 (References)

- [1] 丧彪, 阿三. 秽质不可饰: 论粪便基体无法实现雕花嵌宝的底层物性逻辑 [J]. 奥里给学报, 2(1), 1-16.
- [2] 刘海柱. 精神内耗场中自我厌恶与虚无感的叠加态表征 [D]. 虚无大学, 2025.
- [3] 匿名课题组. 显眼包浓度梯度对学术心态的影

[在此处键入]

- 响机制 [J]. 网络认知科学学报, 2025, 3(1): 33 - 40.
- [4] 王根基. 人类排泄系统的底层逻辑: 为什么你的肛门拒绝执行“边拉边憋”这一多线程指令 [J]. 甯拉, 1(3), 1-15.
- [5] Fuck, J., shit, S., Girshick, R., & Farhadi, A. (2025). Refutation: Criticizing the Inconsistencies in "The Underlying Logic of the Human Excretory System". In *Proceedings of the IEEE Conference on shit* (pp. 779-788).

[在此处键入]

[6] Fafeng,liu, Caoni,Ma。The technical feasibility and exploration of the path for carving patterns on fecal matrices and inlaying precious stones and gold edges. *Shit* , 4(4), 75.

[7] 刚烈, 菜花。科研抽象度量指标体系构建与

应用 [J]. *元宇宙学术评论*, 2025, 2 (2): 89 - 96.

[8] Li, W., & Zhao, G. (2024). Quantitative modeling and grading standards of aesthetic cognitive conflict. *Journal of Cognitive Aesthetics*, 6(2), 45-58.

[在此处键入]